

偶氮氯膦-mA 褪色光度法测定稀土中的铈含量

Spectrophotometric Determination of Cerium in Rare Earth by Chlorophosphonazo-mA

陶慧林

TAO Hui-lin

(桂林工学院材料与化学工程系, 广西桂林 541004)

(Department of Material and Chemical Engineering, Guilin University of Technology, Guilin, Guangxi, 541004, China)

摘要:用偶氮氯膦-mA 褪色光度法测定稀土中微量铈的含量,研究铈(IV)氧化偶氮氯膦-mA(CPA-mA)的褪色反应条件。结果表明,体系最大吸收波长在545nm处;在H₂SO₄介质中,铈(IV)量在0~3.2mg/L范围与偶氮氯膦-mA的褪色程度呈良好的线形关系,表观摩尔系数为 $\epsilon_{545} = 1.30 \times 10^4 \text{ L} \cdot \text{mol}^{-1} \cdot \text{cm}^{-1}$,相关系数 $r = 0.9989$ 。本方法应用于稀土氧化物中铈的测定,结果与原值相符,6次测定的RSD小于4.3%,平均加标回收率为97%~104%。

关键词:铈 稀土 偶氮氯膦-mA 褪色光度法

中图法分类号:O657.3 文献标识码:A 文章编号:1005-9164(2006)01-0040-03

Abstract: Based on the decoloring reaction of CPA-mA with cerium(IV) in H₂SO₄ medium, a new method for the determination of micro amount cerium is developed. The maximum absorption is at 545 nm. Beer's law is obeyed in a concentration range of 0 to 3.2 mg/L of cerium. Its molar absorptivity is $1.30 \times 10^4 \text{ L} \cdot \text{mol}^{-1} \cdot \text{cm}^{-1}$. The method has been applied to the determination of cerium in rare earth oxides with satisfactory results.

Key words: cerium, rare earth, chlorophosphonazo-mA (CPA-mA), decoloring spectrophotometry

由于稀土元素化学性质十分相似,因此稀土分析是无机分析中最困难最复杂的课题之一,尤其是单一稀土元素的分析。常用于测定微量铈的方法有甲肟法和8-羟基喹啉法,前者显色后有色溶液极不稳定,最大吸收波长不在可见光区,灵敏度也不高($\epsilon_{340} = 4.7 \times 10^3$);而后者操作烦琐,不利于铈的测定^[1]。利用铈(IV)的强氧化性对部分有机显色剂具有氧化褪色的特点,进行微量铈(IV)的测定已有报道^[2~7]。本文研究铈(IV)氧化偶氮氯膦-mA(CPA-mA)的褪色反应条件,并借此建立一种新的测定微量铈的分光光度法。实验表明,在H₂SO₄介质中,该方法具有简便、快速、准确、选择性好的特点,应用于稀土氧化物中铈的测定,相对标准偏差≤4.3% ($n = 6$),平均加标回收率为97%~104%。

收稿日期:2005-07-19

修回日期:2005-08-12

作者简介:陶慧林(1961-),女,广西贺州人,副教授,主要从事分析化学专业工作。

1 实验材料与方法

1.1 主要仪器和试剂

仪器722型分光光度计(上海第三分析仪器厂生产)。

铈标准溶液:10μg·ml⁻¹(0.02mol·L⁻¹ H₂SO₄介质);CPA-mA溶液:1.0×10⁻⁴mol·L⁻¹;H₂SO₄溶液:0.2mol·L⁻¹。

1.2 实验方法

准确取适量铈标准溶液于25ml容量瓶中,加入6.0ml H₂SO₄溶液(0.2 mol·L⁻¹),6.0ml CPA-mA溶液(1.0×10⁻⁴mol·L⁻¹),用水稀释至刻度,摇匀。在沸水浴中加热2min,取下,流水冷却至室温。于波长545nm处,用1cm比色皿,以水为参比,分别测定试剂空白和褪色溶液的吸光度 A_1 和 A_2 ,并计算 $\Delta A = A_1 - A_2$ 。

2 结果与分析

2.1 吸收光谱

在490~580nm 波长处测定试剂空白和褪色溶液的吸收曲线如图1所示。从图1可以看出,不同体系的最大吸收波长均在545nm。因此本文选择测量波长为545nm。

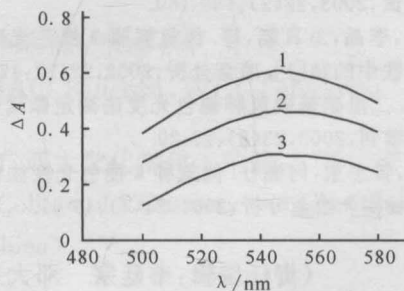


图1 吸收曲线

Fig. 1 Absorption curves

1. CPA-mA/H₂O; 2. CPA-mA - 40μg Ce(IV)/H₂O;
3. CPA-mA - 80μg Ce(IV)/H₂O

2.2 反应条件的选择

2.2.1 反应介质及酸浓度

分别用 HNO₃、HCl、H₃PO₄ 和 H₂SO₄ 作为介质进行试验的结果表明,在 H₃PO₄ 和 HCl 介质中,体系褪色程度不明显(ΔA 值较小);在 HNO₃ 介质中体系褪色较明显(ΔA 值较大),但重现性差,线性范围窄。而在硫酸介质中,体系的灵敏度最高,线性范围宽且具有良好的线性关系。表1结果表明,0.2 mol·L⁻¹ 硫酸的用量在4.0~8.0 ml 之间体系 ΔA 最大且基本恒定。本文选用6.0 ml 0.2 mol·L⁻¹ 硫酸作为反应介质。

表1 H₂SO₄用量对体系($\rho_{Ce} = 1.6 \text{ mg/L}$)吸光度的影响

Table 1 The effects of H₂SO₄ volume on ΔA

V _{H₂SO₄} (ml)	ΔA	V _{H₂SO₄} (ml)	ΔA	V _{H₂SO₄} (ml)	ΔA
2.0	0.128	5.0	0.150	8.0	0.148
3.0	0.140	6.0	0.148	9.0	0.138
4.0	0.146	7.0	0.151		

2.2.2 CPA-mA 用量

由表2可知,1.0×10⁻⁴ mol·L⁻¹ CPA-mA 加入量在5.0~7.0 ml 时,体系 ΔA 最大且基本不变。本文采用6.0 ml CPA-mA 溶液。

表2 CPA-mA 用量对体系($\rho_{Ce} = 1.6 \text{ mg/L}$)吸光度的影响

Table 2 The effects of CPA-mA volume on ΔA

V _{CPA-mA} (ml)	ΔA	V _{CPA-mA} (ml)	ΔA	V _{CPA-mA} (ml)	ΔA
3.0	0.138	6.0	0.148	9.0	0.126
4.0	0.150	7.0	0.150		
5.0	0.146	8.0	0.139		

2.2.3 温度

实验表明,水浴温度在20~100℃时,随着温度的升高,体系的 ΔA 也随着增大。本文选择在沸水浴(100℃)中进行。

2.2.4 反应时间和稳定性

在沸水浴中铈(IV)氧化 CPA-mA 的褪色反应在1~3 min 完成,此时 ΔA 值最大且恒定,褪色溶液的吸光度值在4 h 内基本稳定。本文选择在沸水浴中加热2 min,流水冷却后进行测定。

2.3 工作曲线和摩尔吸光系数

按实验方法,分别取0, 5 μg, 10 μg, 15 μg, 20 μg, 30 μg, 40 μg, 60 μg, 80 μg, 100 μg 铈标准溶液于25 ml 容量瓶, 测定各吸光度差值, 绘制工作曲线。结果表明, 铈(IV)量在0~3.2 mg/L 呈线性关系, 其回归方程为: $\Delta A = 0.0037c + 0.0018$, 式中 c 为25 ml 溶液中铈的微克数, 相关系数 $r = 0.9989$, 表观摩尔吸光系数 $\epsilon_{545} = 1.30 \times 10^4 \text{ L} \cdot \text{mol}^{-1} \cdot \text{cm}^{-1}$ 。

2.4 共存离子的影响

在实验条件下, 测定40 μg 铈(IV)的结果表明, 相对误差小于±5% 时下列共存离子(mg)不干扰铈的测定: K⁺、Na⁺、NH⁴⁺ (>100); Mg²⁺、Ca²⁺、Zn²⁺、SiO₃²⁻、Se⁴⁺、Br⁻ (85); F⁻、Cl⁻、PO₄³⁻ (15); Ag⁺、NO₃⁻、Cu²⁺ (8); Sn²⁺、Ti³⁺ (5); W(VI)、Ba²⁺、Pb²⁺、Cd²⁺ (1.2); Ni²⁺、Hg²⁺ (0.6); Al³⁺、Bi³⁺ (0.45); V(V)、Mo(VI) (0.3); Fe³⁺ (0.16); Mn²⁺ (0.03); Cr³⁺ (0.02)。说明锰和铬的含量较高时, 将干扰测定, 因此如果试样中含锰和铬, 则在测定前必须除去, 否则影响分析结果。

3 实例分析

3.1 样品预处理

准确称取0.1~0.5 g 稀土氧化物(桂林地质矿产研究院分析测定中心提供)于烧杯中, 加2 g K₂SO₄, 3~4 ml 浓硫酸, 盖上表面皿, 加热至试样溶解完全, 冷却后加50 ml 水, 1~2 ml 10 g·L⁻¹ AgNO₃ 溶液, 2~3 g (NH₄)₂S₂O₈ 摆匀, 继续加热至小气泡消失后发生大气泡持续2~3 min, 使过量的(NH₄)₂S₂O₈ 分解。取下, 冷却后移入100 ml 容量瓶中, 以水稀释至刻度, 摆匀。

3.2 样品测定

准确取适量待测溶液于25 ml 比色管中, 按实验方法进行测定, 同时做样品标准加入回收试验的结果列于表3。由表3可知, 本实验方法用于稀土氧化物中铈测定的结果与原值相符, 6次测定的 RSD 值小于4.3%。平均加标回收率为97%~104%。说明本方法的准确度和精密度均较好。

表3 样品分析结果

Table 3 Analytical results of cerium in samples

样品 Sample	原含量 Content (%)	测定值 Measured value(%)						RSD (%)	本底值 Original (μ g)	加入量 Added (μ g)	测得量 Measured amount(μ g)			平均 回收率 Average recovery rate(%)	
		1	2	3	4	5	6				1	2	平均值 Average		
1	0.24	0.228	0.250	0.240	0.250	0.226	0.240	0.239	4.3	28	20	47.2	47.6	47.4	97
2	0.46	0.462	0.474	0.440	0.435	0.426	0.440	0.446	4.1	37	20	58	57.6	57.8	104

参考文献:

- [1] 张孙玮,吴水生,刘绍璞.有机试剂在分析化学中的应用 [M].北京:科学出版社,1983;183.
- [2] 陶慧林,钟福新,张成.铈与氯代碘酚 S 的氧化退色反应及应用[J].广西化工,1998,27(3):46-49.
- [3] 汪效祖,于文涛,姚成,等.氧化罗丹明 B 褪色分光光度法测定微量铈[J].南京化工大学学报,1998,20(增刊):56-58.
- [4] 黄典文,张宁.甲基绿显色分光光度法测定微量铈[J].

岩矿测试,2003,22(2):158-160.

- [5] 邹本义,李晶,王日朝,等.偶氮氯膦Ⅲ褪色光度法测定球墨铸铁中的铈[J].冶金分析,2002,22(5):47-48.
- [6] 王玉宝.二溴硝基偶氮胂褪色光度法测定微量铈[J].高师理科学刊,2003,23(3):27-29.
- [7] 夏畅斌,黄念东,何湘柱.偶氮胂Ⅲ褪色光度法测定煤灰中微量铈[J].冶金分析,2004,24(4):49-51.

(责任编辑:韦廷宗 邓大玉)

(上接第36页 Continue from page 36)

(CDCl₃): 0.82(³H,d,J=2.76,3-O-rha,-CH₃), 1.13(3H,d,J=2.71,7-O-rha,-CH₃), 6.46(¹H,d,J=1.92,H-6), 6.80(¹H,d,J=1.92,) H-8, 6.94(2H,d,J=8.68,H-3',5'), 7.79(2H,d,J=8.68,H-2',6'), 10.29(¹H,s,OH-4'), 12.61(¹H,s,OH-5)。

经过FAB-MS、IR、¹H-NMR、¹³C-NMR分析,可以推断化合物Ⅰ的结构式为山奈酚-3,7-O- α -L-二鼠李糖甙。

1.7.2 化合物Ⅱ的结构鉴定

化合物Ⅱ为淡黄色粉末; IR(KBr)cm⁻¹: 3425(-OH); 2932(-CH₂-), 1655(-C=O), 1600, 1493, 1452, 为芳环的特征吸收。FAB-MS: 621(M⁺+1), 知化合物Ⅱ的分子量为620, 即化合物Ⅱ的分子式为C₂₇H₃₀O₁₆。¹³C-NMR(DMSO): 156.6(C-2), 133.9(C-3), 178.4(C-4), 161.4(C-5), 99.9(C-6), 162.0(C-7), 94.9(C-8), 158.3(C-9), 106.2(C-10), 121.7(C-1'), 115.6(C-2'), 145.7(C-3'), 149.1(C-4'), 116.2(C-5'), 121.0(C-6'); 3-Glu: 101.2, 74.7, 76.9, 70.2, 78.0, 61.4; 7-Rha: 99.9, 70.5, 70.7, 71.6, 70.4, 17.9.¹H-NMR(CDCl₃): 1.12(³H,d,7-O-rha,-CH₃), 5.56(¹H,brs,7-O-rha,H-1), 5.48(¹H,d,3-O-glu,H-1), 6.45(¹H,d,H-6), 6.83(¹H,d,H-8), 6.89(¹H,d,H-5'), 12.50(¹H,s,OH-5)。

经过FAB-MS、IR、¹H-NMR、¹³C-NMR分析,可以推断化合物Ⅱ为槲皮素-3-O- β -D-葡萄糖7-O- α -L-鼠李糖甙。

2 结论

实验结果表明,罗汉果叶含有2种黄酮甙。分别

是:山奈酚-3,7-O- α -L-二鼠李糖甙和槲皮素-3-O- β -D-葡萄糖7-O- α -L-鼠李糖甙。

参考文献:

- [1] 李典鹏,张厚瑞.广西特产植物罗汉果的研究与应用[J].广西植物,2000,20(3):270-276.
- [2] Tsurtematsu T, Shigenobu A. Study on the constituents from fructs of *Mommordica grosvenori* [J]. J Pharm (Japan), 1983, 103:1151-1173.
- [3] 陈全斌,义祥辉,扬瑞云,等.不同生长周期的罗汉果鲜果中甜甙V和总黄酮含量变化规律研究[J].广西植物,2005,25(3):274-277.
- [4] 余丽娟,陈全斌,义祥辉,等.高效液相色谱法制备罗汉果甜甙V标准品[J].色谱,2003,21(4):397-399.
- [5] 陈全斌,陈海燕,李俊,等.RP-HPLC法测定罗汉果多糖的相对分子质量[J].中草药,2003,34(12):1075-1076.
- [6] 斯建勇,常琪,等,鲜罗汉果中黄酮甙的分离及结构鉴定[J].药学学报,1994,29(2):114-120.
- [7] 陈全斌,杨瑞云,义祥辉,等.RP-HPLC法测定罗汉果鲜果及甜甙中总黄酮含量[J].食品科学,2003,24(5):133-135.
- [8] 陈全斌,汤桂梅,义祥辉.罗汉果块根淀粉的提取及其性质研究[J].食品科学,2002,23(4):37-41.
- [9] 陈全斌,汤桂梅,徐庆,等.罗汉果块根中药用成份提取及其药理初探[J].化学世界,2003,44(1):21-23.
- [10] 陈全斌,程忠泉,义祥辉.罗汉果种仁油脂的提取及其性质研究[J].食品科学,2004,12(2):25-27.
- [11] 陈全斌,杨建香,程忠泉.RP-HPLC法测定罗汉果叶中总黄酮含量[J].广西科学,2005,12(1):43-45.

(责任编辑:邓大玉)